

استفاده از تبخیر کننده فیلم ریزان و صعودی برای تغليظ آب پرقال بومی

مجتبی سمنانی رهبر^{۱*}، طاهره کاغذچی^۲

۱- دانشیار دانشگاه امام حسین (ع)

۲- استاد دانشگاه صنعتی امیرکبیر

چکیده

آب میوه‌ها به دلیل وجود ویتامین‌ها، پروتئین‌ها و مواد آلی دیگر نسبت به عملیات تبخیر حساس بوده و به همین دلیل تبخیر آنها باید در تجهیزاتی صورت پذیرد که کمترین زمان اقامت و حداکثر راندمان را دارا باشند تا امکان تخریب اجزاء آن به حداقل برسد. وجود این خصیصه در تبخیر کننده‌های لوله‌ای فیلم ریزان و صعودی آنها را برای تغليظ آب میوه بسیار مناسب ساخته است. در این تحقیق تغليظ آب پرقال بدست آمده از مناطق شمالی ایران در یک پایلوت نیمه صنعتی متشکل از یک تبخیر کننده دو مرحله‌ای فیلم ریزان و صعودی انجام داده و تغییرات ضخامت فیلم مایع، ضرایب انتقال حرارت و زمان اقامت سیال مورد بررسی قرار گرفته است. نتایج نشان می‌دهند که تغییرات ضخامت فیلم مایع، ضریب انتقال حرارت و خواص ثیدرودینامیکی و حرارتی سیال کاملاً در محدوده جریان آشفته است و می‌توان با انجام شش مرحله، آب میوه را به غلظت مناسب رساند و به حد استاندارد لازم برای نسبت غلظت کنسانتره به اسیدیته دست یافت.

کلید واژه‌گان: تبخیر، آب پرقال، خلاء، فیلم ریزان، فیلم صعودی، ضریب انتقال حرارت، درجه بریکس

۱- مقدمه

- روشهای دیگر برتری دارد [۱].
تغليظ آب میوه‌ها به منظور دستیابی به اهداف زیر انجام می‌شود:
الف - امکان تولید محصول با کیفیت یکنواخت در فواصل زمانی مختلف (فصل مختلف) با توجه به فصلی بودن تولید آب میوه تازه
ب - کاستن از نوسان قیمت به دلیل فصلی بودن تولید آب میوه تازه
ج - افزایش ظرفیت تولید
د - کاستن از بار فرآیند خشک کردن که گاهی در صنایع

صنعت تولید آب میوه از جمله صنایعی است که سهم مهمی در بازار صنایع غذایی دارد و برای حصول به رقابت مؤثر باید بتوان آنرا با کیفیت بالا ارائه نمود. این کیفیت باید با استمرار ارائه محصول در بازار توأم باشد که یکی از روشهای مناسب برای امکان ارائه مستمر این محصول، تولید آب میوه کنسانتره است. صرفنظر از روش آبگیری از میوه‌ها، آب میوه‌هایی که بدست می‌آیند با روشهایی از قبیل تبخیر، تغليظ انجامدادی و روش اسمزی تغليظ می‌گردند که روش تبخیر به دلیل امکان دستیابی به غلظت‌های بالاتر، ظرفیت تولید بیشتر و اقتصادی بودن به

* مسئول مکاتبات: msrahbar@yahoo.com

مقدار آن نیز از تبخیرسیون آب میوه با سود بدست می آید. غلاظت مطلوب برای آب پرتفال کنسانتره حدود 42 درجه ب瑞کس است [4].

پرتفال رسیده دارای غلاظت بیشتری از جامدات محلول می باشد. پوست پرتفال دارای دی - لیمونن بعنوان جزء اصلی است و اجزای دیگر آن عبارتند از دی سیل آلدئید، سیترال، الكل اکتیل، لینانول. اسیدهای فرمیک، استیک، کاپریلیک، و کاپریک، وجود روغن حاصل از پوست پرتفال به مقدار کم درون آب میوه می تواند طعم مناسبی به آن بدهد اما در صورت بسته بندی آب میوه در قوطی، وجود مقادیر کم نیز بدلیل تبدیل دی لیموئین به سینول باعث تلخی در مزه و طعم می گردد. لیمونن، بتامیرسن، اتیل ایزووالریت، متیل آلفا اتیل نرمال کاپروات، استات سیترونلیل و اجزای قرار دیگر نیز در ترکیب پرتفال وجود دارد. قندهای موجود در این میوه، گلوکر، لولوز و ساکاروز می باشند. پراکسیداز، ایندوفنل اکسیداز و پکتین استراز اجزای عمدۀ آنزیمی موجود در پرتفال هستند.

هیپریدین که یک گلیکوسید است در میوه های خام نسبتاً بیش از میوه های رسیده وجود دارد. ویتامین C (اسید اسکوربیک) ویتامین اصلی موجود در مرکبات است که مقدار آن با توجه به نوع، رسیده بودن و پارامترهای دیگر میوه تغییر می کند. با رسیده تر شدن میوه مقدار ویتامین مذکور کاهش می یابد. مقدار آن در آب پرتفال در محدوده 0/4 mg/m1 - 0/25 mg است. اسید اسکوربیک در طی فرآیند و ذخیره سازی نسبتاً پایدار است. لیمونن نیز یکی از اجزای موجود در پرتفال است که بدلیل ایجاد تلخی، تولید آب میوه از میوه هائی که لیمونن آنها نسبتاً زیاد است خصوصاً در شکل بسته بندی با قوطی متناول نیست.

به دلیل حساسیت مواد موجود در آب میوه نسبت به حرارت عمولأ تبخیر در خلاء صورت می گیرد. چگونگی تغییط آبمیوه و به ویژه اثر رسوبات و غلاظت مایع در ضرایب انتقال حرارت قبل از تبخیر چندین محقق مورد بررسی قرار گرفته است. تحقیقات قبلی عمدتاً بر روی استفاده از تبخیر کننده فیلم ریزان انجام گرفته و از تبخیر کننده فیلم ریزان و صعودی به صورت همزمان استفاده نشده است به ویژه آنکه خواص آب میوه بر روی عملکرد تبخیر کننده تاثیر می گذارد. در تحقیقات قبلی نشان می دهد که می توان انواع آب پرتفال را توسط

آبمیوه سازی برای تولید محصولات پودری مورد استفاده قرار می گیرند.

ه - صرفه جوئی در سرمایه گذاری با توجه به اینکه تجهیزات مربوط به تغییط آب میوه ها نسبت به سیستم ذخیره سازی و انبار کردن و نگهداری آب میوه تازه هزینه کمتری دربر دارد. و - کاهش مخارج حمل و نقل زیرا کمیت مواد بطور قابل توجهی کاهش می یابد [2].

از آنجاییکه آب میوه ها دارای درصد بالای از آب به مقدار حداقل 78% وزنی هستند افزایش غلاظت اجزای جامد درون آنها توسط تبخیر و جداسازی آب صورت می پذیرد به دلیل حساسیت مواد موجود در آب میوه نسبت به حرارت عمولأ تبخیر در خلاء صورت می گیرد مقدار جامدات موجود در آب میوه می تواند سبب افزایش نقطه جوش آب میوه شود که میزان این افزایش با تغییط خوارک تغییر می کند افزایش نقطه جوش را می توان با رابطه (1) بیان کرد.

$$B.P.E = \frac{^0BX}{100 - ^0BX} \quad (1)$$

معیار وجود اجزای جامد در آب میوه ها درجه ب瑞کس 0BX است که درصد وزنی مواد جامد در آب میوه است از آنجاییکه مقدار اعظم جامدات درون آب میوه را شکر به فرم های مختلف تشکیل می دهد گاهی درجه ب瑞کس را بصورت درصد وزنی شکر موجود در آب میوه تعریف می کنند. با تبخیر آب میوه درجه ب瑞کس آن افزایش می یابد که این امر خود سبب افزایش ویسکوزیته می گردد و افزایش ویسکوزیته به نوبه خود باعث کاهش ضریب انتقال حرارت می شود.

مقدار حجم کنسانتره که با تبخیر آب از آب میوه تازه بدست می آید را می توان با رابطه (2) محاسبه نمود.

$$\frac{g}{G} = \frac{S_1 \times B}{S_2 \times b} \quad (2)$$

که S_1 , S_2 , B , G به ترتیب وزن مخصوص، درجه ب瑞کس و حجم کنسانتره و b و g نیز وزن مخصوص، درجه ب瑞کس و حجم آب میوه تازه می باشد [3].

نسبت $\frac{^0BX}{[acid]}$ (نسبت غلاظت آب میوه به اسیدیته آن)، یکی از پارامترهای مهم در تغییط آب میوه هاست. بر طبق استاندارد، این نسبت در آمریکا 17-16 و در کشورهای دیگر 14-13 است. اسیدیته آب پرتفال به اسید سیتریک بسی آب باز می گردد و

ضریب انتقال حرارت مایع درون فیلم ریزان نیز با معادلات (12-15) ارائه شده‌اند [9 و 10]:

جريان آرام:

$$h = 1.1 \left(\frac{k^3 g}{v^2} \right)^{0.33} Re^{-0.33} \quad (12)$$

جريان آرام موجودار:

$$h = 0.822 \left(\frac{k^3 g}{v^2} \right)^{0.33} Re^{-0.22} \quad (13)$$

جريان درهم:

$$h = 0.0038 \left(\frac{k^3 g}{3v^2} \right)^{0.33} Pr^{0.65} Re^{0.4} \quad (14)$$

$$Pr = \frac{cm}{k} \quad (15)$$

که در رابطه فوق C ظرفیت حرارتی، μ ویسکوزیته دینامیکی، v ، ویسکوزیته سینماتیکی، k ضریب هدایت حرارتی سیال هستند و g شتاب ثقل است.

در سالهای اخیر مطالعات آدمیت و رنز نشان می‌دهد که ویژگیهای سه‌بعدی ساختمان امواج در فیلم مایع کاملاً تحت تأثیر کنش‌های موجود در امواج است [11]. هیدرودینامیک تشکیل امواج در چند مرحله توسط چانگ مطالعه گردید. وی سعی کرد که با استفاده از معادله ارائه شده توسط کوراما تو و سیواشینسکی و همچنین معادله مربوط به امواج بلند، چگونگی رفتار فیلم مایع را در محدوده عدد رینولذز بسیار کم و عدد کاپیترزا زیاد توجیه نماید. او همچنین روابط ریاضی بین ضخامت فیلم مایع، سرعت امواج و خواص مایع ارائه نمود [12]. یو و همکارانش یک مدل برای تشریح دینامیک امواج بلند موجود در فیلم مایع ارائه دارند [13]. نوگوین و بالاکوتایه این مطالعات را ادامه داده و مدل ساده‌تری برای حرکت فیلم مایعی با عدد رینولذز کم و در محدوده‌های مختلف از عدد کاپیترزا ارائه کردند [14]. موza و همکارانش چگونگی جریان فیلم ریزان برای نفت سفید و آب را در حضور هوا بعنوان سیال گازی بصورت جریان متقابل بررسی نموده و تأثیر ابعاد لوله بر رسیدن به حالت طغیان در فیلم مایع را مورد بررسی قرار دادند [15]. موران و همکارانش نیز هیدرودینامیک حرکت روغن سیلیکون به شکل فیلم ریزان در یک سطح شب‌دار و در حالت جریان آرام را توسط عکسبرداری مورد بررسی قرار

تبخیرکننده‌های با فیلم ریزان حداقل با 10 مرحله به غلظت 40 درجه بربیکس رساند [5]. هدف این تحقیق تغییض آب پرتوال به دست آمده از میوه‌های بومی ایران (منطقه شمال ایران) با تبخیرکننده‌های با فیلم ریزان و صعودی و رسیدن به درجه بربیکس 40 بوده است.

مرور مبانی تئوری و داده‌های پیشین جریان فیلم ریزان تحت تأثیر نیروی لرجت، ثقل و کشش سطحی صورت می‌پذیرد عدد رینولذز در جریان فیلمی به صورت رابطه (3) تعریف می‌شود:

$$Re = \frac{4U_{ave}d_p}{m} = \frac{4\Gamma}{m} = \frac{4Q}{p dv} \quad (3)$$

که d قطر لوله، v ویسکوزیته سینماتیک و Q شدت جریان حجمی سیال است.

محدوده‌های گذر از حالت جریان آرام به جریان آرام موج دار و حالت درهم با معادلات (4-6) ارائه شده است:

$$Re_{L \rightarrow WL} = 0.61 Ka^{-\frac{1}{11}} \quad (4)$$

$$Re_{WL \rightarrow T} = 5800 Pr^{-1.06} = 0.215 Ka^{-0.333} \quad (5)$$

$$Ka = \frac{ga^4}{ra^3} \quad (6)$$

که ρ دانسیته، μ ویسکوزیته، a کشش سطحی و Ka عدد کاپیترزا است.

ضخامت فیلم مایع ریزان، δ ، نیز در هر یک از انواع جریانات سیال به صورت رابطه‌های (7-11) ارائه شده است [6-8]:

$$d = 0.91 \left(\frac{v^2}{g} \right)^{\frac{1}{3}} Re^{0.333} \quad (7)$$

جریان آرام موجودار:

$$d = 0.93 \left(\frac{3vQ}{g} \right)^{0.333} \quad (8)$$

جریان درهم:

$$d = (0.5 Re)^{0.5} \quad 0 \leq d \leq 5 \quad (9)$$

$$Re = 20d Lnd \quad 5 \leq d \leq 30 \quad (10)$$

$$Re = 4d(3 + 2.5Lnd) - 256 \quad d > 30 \quad (11)$$

2- مواد و روش ها

1-1- مواد

از آب پرنتقال آبگیری شده در کارخانه افسره تکابن (شمال ایران) برای تغییض استفاده گردید که مشخصات فیزیکی آنها در جدول (1) ارائه شده است [15].

جدول 1 مشخصات آب پرنتقال مورد استفاده

در آزمایشات [18]

درصد وزنی آب موجود	دما، °C	دانسیته، kg/m³	هدایت حرارتی، W/m°C	ظرفیت حرارتی، kJ/kg°C
87	20	1000	0/577	3/987

2- دستگاه ها

آزمایش ها در یک واحد نیمه صنعتی متشکل از تبخیر کننده های با فیلم صعودی و ریزان مطابق شکل (1) صورت پذیرفت. این واحد شامل دو لوله عمودی دوجداره است که یکی از آنها برای تبخیر به صورت فیلم صعودی و دیگری برای تبخیر به شکل فیلم ریزان مورد استفاده قرار گرفت که جدول (2) مشخصات هر یک از آنها را ارائه می کند. جریان خروجی از تبخیر کننده فیلم صعودی بعنوان خوراک تبخیر کننده فیلم ریزان بکار می رفت که توسط توزیع کننده از بالای لوله بصورت یک فیلم نازک بر روی جداره داخلی آن جریان می یافتد. با استفاده از کندانسور، بخار آب ایجاد شده در فیلم ریزان به مایع تبدیل شده و بدینوسیله مقدار بخارات ایجاد شده طی عمل تبخیر بدست می آمد. ترموموکوپل ها و فشار سنج ها سیستم خلاء این واحد می توانست بصورت پایدار، حلالی به مقدار 70 kPa تولید نماید و بخار درون جداره (ژاکت) محیط گرماده لازم را فراهم می ساخت که بخار مورد استفاده در آزمایش ها دارای فشار نسبی 40-40 kPa و دمای 107 °C بود.

101

دادند و نشان دادند که حداقل سرعت سیال از پیش بینی معادله ناسلت بیشتر ولی ضخامت فیلم کمتر است [16]. این محققین همچنین تأثیر خواص سیال بر روی ایجاد حالت طغیان در فیلم ریزان را با اندازه گیری ضخامت فیلم مایع در حالتهای مختلف مورد بررسی قرار داده و معادلات جدیدی برای تخمین حالت طغیان ارائه کردند [17].

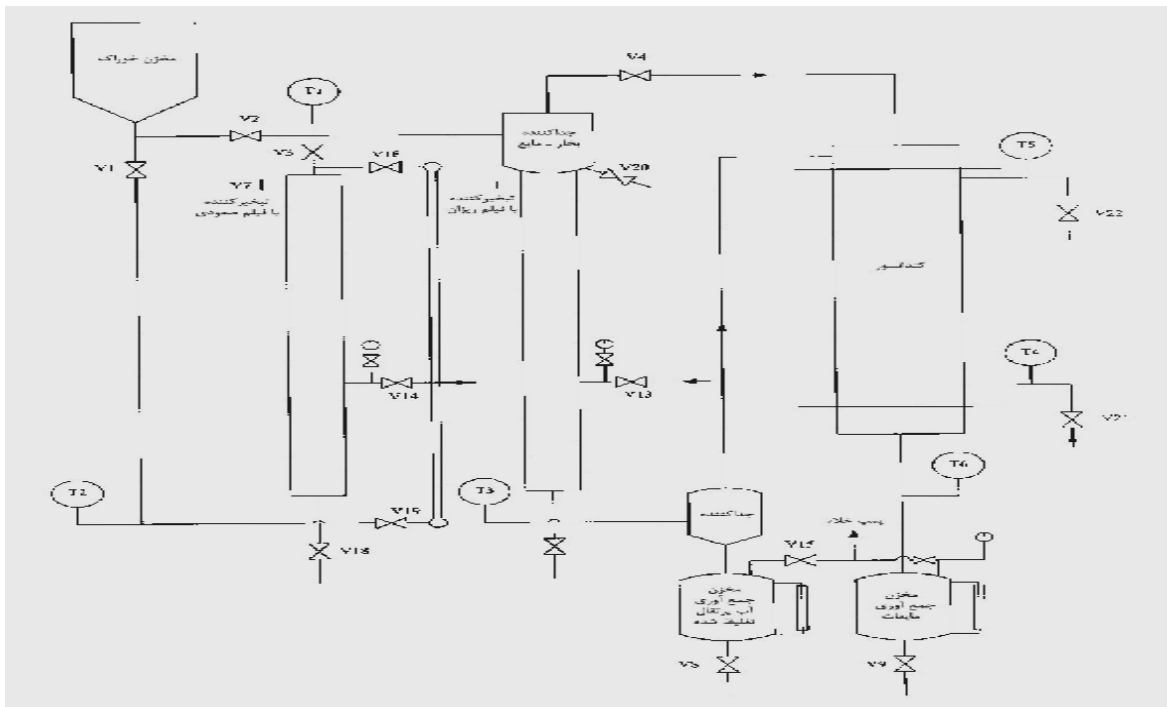
طراحی تبخیر کننده های فیلم صعودی غالباً بدليل فقدان تئوری جامع لازم برای توضیح و تشریح تأثیر فاکتور های مختلف در عملکرد این واحدها با اشکال روبرو بوده است روابطی که وجود دارد عمدتاً تجربی بوده و فقط به محدوده کوچکی از کاربردها مربوط می گردد. لوله های مورد استفاده در این تبخیر کننده دارای قطر بین 2-10/75 اینچ و طول 125 خواهد بود به منظور استفاده از حداقل طول لوله برای تبخیر و راندمان مطلوب تر، خوراک باید در نقطه جوشش خود وارد تبخیر کننده گردد.

ضرایب انتقال حرارت سیال درون لوله با فیلم صعودی را می توان از معادله (16) و (17) محاسبه کرد:

$$Nu = (1.3 + 39d) Pr^{0.9} Re_L^{0.34} \left(\frac{r_L}{r_V} \right)^{0.25} \left(\frac{m_V}{m_L} \right) \quad (16)$$

$$Nu = \frac{hd}{k} \quad (17)$$

که اندیس L و V بیانگر فازهای مایع و گاز است حداقل سرعت بخار درون لوله باید 30 ft/s باشد و سرعت 100 ft/s برای عملیات در یک اتمسفر مناسب است حداقل شدت جریان خوراک ورودی برای لوله های با قطر حداقل یک اینچ، سه برابر مقدار مایعی است که باید در طی تبخیر در لوله، بخار شود و برای داشتن یک جریان پایدار و دائمی از فیلم مایع درون لوله مقدار خوراک باید 1/5 برابر این مقدار حداقل باشد. بهترین نتیجه از عملیات در فیلم صعودی زمانی بدست می آید که نسبت طول لوله به قطر آن حدود 100 باشد [18 و 19].



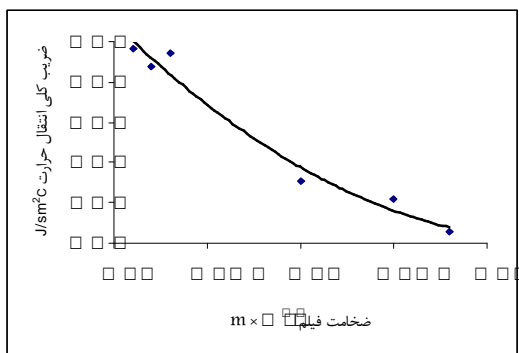
شکل 1 شماتی دستگاه نیمه صنعتی شامل تبخیر کننده فیلم صعودی و فیلم ریزان

جدول 2 مشخصات لوله فیلم ریزان و فیلم صعودی مورد استفاده در آزمایشات

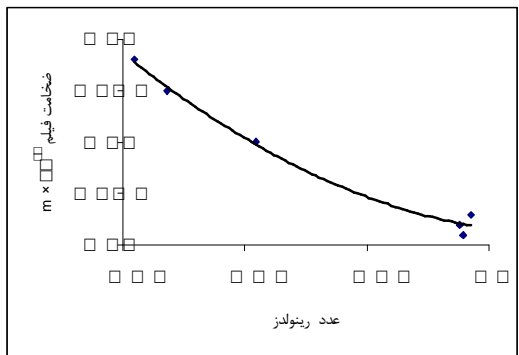
قطر اسامی (cm)	نوع تبخیر کننده	تعداد لوله	قطر داخلی (cm)	قطر خارجی (cm)	ضخامت (cm)	طول لوله (m)	ضریب هدایت حرارتی لوله K W/m. °C
0/94	فیلم صعودی	یک عدد	1/23	1/69	0/23	1/51	18/7
		یک عدد	2/06	0/13	0/28	1/63	18/7
0/75	فیلم ریزان	یک عدد	1/23	1/69	0/23	1/51	18/7
		یک عدد	2/06	0/13	0/28	1/63	18/7

جدول 3 اطلاعات مربوط به تغليظ آب پر تقال با فیلم ریزان

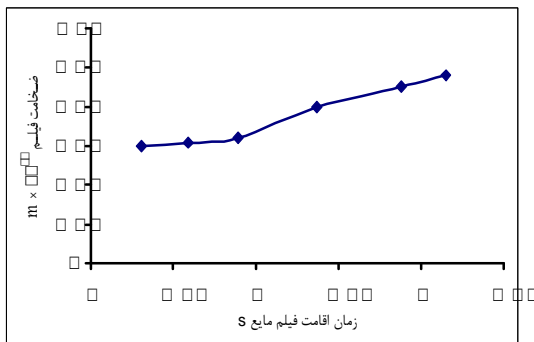
مرحله	شدت جریان $m\text{lit}/\text{min}$	غلظت اولیه، $^{\circ}\text{BX}$	غلظت نهائی، $^{\circ}\text{BX}$	فشار نسبی بخار جداره، kPa
1	470	10	17	27
2	470	17	24	27
3	470	24	30	27
4	470	30	35	27
5	470	35	38	27
6	470	38	40/7	27



شکل 4 تغییرات ضریب کل انتقال حرارت بر حسب ضخامت فیلم در تغییط آب پرتقال با فیلم ریزان



شکل 5 تغییرات ضخامت فیلم بر حسب عدد رینولدز در تغییط آب پرتقال با فیلم ریزان



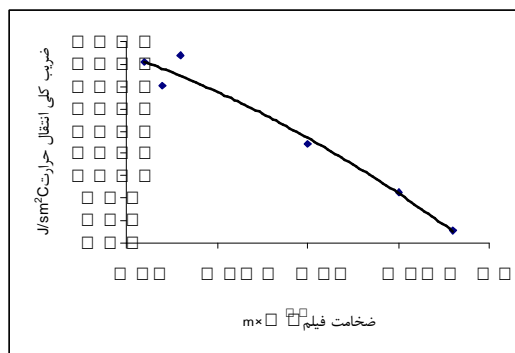
شکل 6 تغییرات زمان اقامت فیلم مایع بر حسب ضخامت آن در تغییط آب پرتقال با فیلم ریزان

1-3-1- روشهای انجام آزمایشها

به منظور بررسی تغییرات نقطه جوش در اثر تغییط فشار، تغییرات نقطه جوش آب پرتقال در فشارهای پائینتر از اتمسفر مورد بررسی قرار گرفت. همچنین با توجه به اینکه از یک لوله بعنوان تبخیر کننده استفاده شده است، تغییط در چندین مرحله برای رسیدن به غلظت مورد نظر انجام گرفت که در هر مرحله از محصول مرحله قبل به عنوان خوراک استفاده شد و سعی گردید که برای حداکثر استفاده از طول لوله، خوراک در نقطه جوش خود وارد تبخیر کننده گردد. به منظور تعیین اسیدیته محصولات، از تیتراسیون یک سانتی متر مکعب از آب میوه های تغییط شده با سود 0/099 نرمال استفاده شده است.

3- نتایج و بحث

شکل (2) تغییرات نقطه جوش آب پرتقال در فشارهای پائین تر از اتمسفر را نشان می دهد. نتایج آزمایش های انجام شده بر روی تغییط آب پرتقال با فیلم ریزان در جدول (3) ارائه شده است. شکل (3) نتایج حاصل از تغییط آب پرتقال در تبخیر کننده فیلم ریزان را ارائه می دهد که در آن ضریب انتقال حرارت فیلم مایع بر حسب عدد رینولدز رسم شده است.



شکل 3 تغییرات ضریب انتقال حرارت فیلم مایع بر حسب ضخامت فیلم در تغییط آب پرتقال با فیلم ریزان

دماهای 45°C در فشار خلاء به مقدار 70 kPa بوده و بخار نیز دماهای 110°C را داشت. شکل (7) تغییرات ضخامت فیلم بر حسب عدد رینولذز در تغليظ پرتفال با فیلم صعودی را نشان می‌دهد می‌توان دید که با وجود افزایش عدد رینولذز برای فیلم صعودی در مقایسه با فیلم ریزان، ضخامت فیلم مایع کمتر است و به همین دلیل انتظار می‌رود که ضریب انتقال حرارت فیلم صعودی در مقایسه با فیلم ریزان بیشتر باشد. شکل (8) تغییرات ضریب انتقال حرارت فیلم صعودی بر حسب عدد رینولذز را ارائه می‌کند. افزایش ضریب انتقال حرارت در فیلم صعودی، افزایش ضریب کلی انتقال حرارت کلی را در پسی خواهد داشت (در مقایسه با فیلم ریزان). شکل (9) تغییرات ضریب کلی انتقال حرارت را بر حسب عدد رینولذز در تغليظ آب پرتفال با فیلم صعودی نشان می‌دهد. اگرچه به نظر می‌رسد که فیلم صعودی در مقایسه با فیلم ریزان موثر عمل می‌کند ولی مشکلات عملیات در تغليظ با فیلم صعودی سبب می‌شود که فیلم ریزان به دلیل سادگی عمل، بر فیلم صعودی رجحان داشته باشد. از طرف دیگر استفاده همزمان از فیلم صعودی و فیلم ریزان باعث می‌شود که ضمن استفاده از مزایای فیلم صعودی، کاستی‌های آن با استفاده از فیلم ریزان جبران شود.

جدول 4 تغییرات خواص فیلم مایع در طی تغليظ آب پرتفال

خاصیت (${}^{\circ}\text{BX}$)	هدایت $\text{W/m}^{\circ}\text{C}$	ظرفیت حرارتی، $\text{kg}/\text{kg}^{\circ}\text{C}$	حرارتی، $\text{cp}/\text{kg}^{\circ}\text{C}$	عدد پرانتل	دانسیته kg/m^3
20	0/559	3/637	0/75	4/880	1000
40	0/510	3/20	1/10	6/902	1115

جدول 5 مقدار عددی رینولذز حدی برای جریان آرام و مغشوش در تغليظ آب پرتفال

عدد Re	مقدار حدی رژیم جریان
3	جریان آرام به آرام موج دار
339	جریان آرام موج دار به مغشوش

عدد رینولذز با استفاده از رابطه (3) و اطلاعات ارائه شده در جدول (4) محاسبه گردیده است. ضریب انتقال حرارت فیلم مایع ریزان (h) بسته به رژیم جریان و به کمک معادلات (12-14) بدست آمده است و ضخامت فیلم مایع نیز با توجه به رژیم جریان از روابط (11-7) و با درنظر گرفتن ضخامت فیلم ثابت محاسبه شده است. اطلاعات ارائه شده در شکل (3) نشان می‌دهد که در هر مرحله با افزایش غلظت مواد جامد موجود در آبمیوه (همراه با افزایش BX^0) ویسکوزیته فیلم مایع افزایش می‌یابد که این امر سبب افزایش ضخامت فیلم مایع و در نتیجه کاهش ضریب انتقال حرارت آن می‌شود. افزایش ویسکوزیته محلول همچنین سبب کاهش انتشار و گردابه‌های فیلم شده که به کاهش ضریب انتقال حرارت فیلم مایع کمک می‌کند. کاهش ضریب انتقال حرارت فیلم مایع سبب کاهش ضریب کلی انتقال حرارت می‌شود که این کاهش در شکل (4) نشان داده شده است. ضریب کلی انتقال حرارت به روش کلاسیک و با فرض سری بودن مقاومتهاي حرارتی و یکسان بودن شار حرارتی از محیط گرماده تا فیلم ریزان محاسبه شده است. شکل (5) بیانگر تغییرات ضخامت فیلم مایع و بر حسب عدد رینولذز است. می‌توان دید که با افزایش ضخامت فیلم عدد رینولذز کاهش می‌یابد و این کاهش تقریباً بصورت نمایی صورت می‌پذیرد. با توجه به محدوده عدد رینولذز برای جریانات مختلف مندرج در جدول (5) که از معادلات (4) و (5) بدست آمده می‌توان گفت که رژیم جریان سیال در طی عملیات تغليظ آب پرتفال مغشوش است. شکل (6) تغییرات زمان اقامت فیلم مایع بر حسب ضخامت آن را نشان می‌دهد زمان اقامت فیلم مایع در هر مرحله با توجه به شدت حجمی خوارک و ضخامت فیلم مایع ریزان و با درنظر گرفتن فرضیه ثابت بودن ضخامت فیلم تعیین شده است. شکل (6) نشان می‌دهد که با افزایش ضخامت فیلم، زمان اقامت آن نیز افزایش می‌یابد که این افزایش بویژه در ضخامت‌های بیشتر، قابل ملاحظه تر است. آزمایش‌ها برای تغليظ آب پرتفال در واحد مشکل از فیلم صعودی و ریزان به صورت توأم نیز انجام پذیرفت که جدول (6) اطلاعات تغليظ آب پرتفال با این واحد را نشان می‌دهد. خوارک ورودی به تبخیرکننده صعودی دارای

4- نتیجه‌گیری

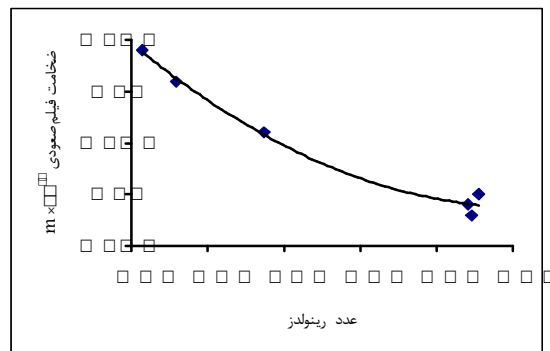
جدول (7) نشان می‌دهد که می‌توان توسط تبخیر کننده‌هایی فیلم ریزان و صعودی در شش مرحله می‌توان آب پرقال را ${}^0BX acid$ کنسانتره نمود و به غلاظت 40 درجه بربیکس و نسبت $m \times$ با 13 دست یافت و نشان می‌دهد که در صورت استفاده همزمان از تبخیر کننده‌های با فیلم ریزان و صعودی تعداد مراحل برای تغییض آب پرقال در مقایسه با فرآیندهایی که تنها از فیلم ریزان استفاده می‌کنند به مقدار قابل ملاحظه‌ای کاهش می‌باشد. با توجه به قابلیت این تبخیر کننده‌ها، عمل تغییض در عین حال که راندمان مناسب را در بر دارد می‌تواند انعطاف‌پذیری لازم در گستره عملیاتی مورد نیاز را نیز دارا باشد.

جدول 7 اطلاعات مربوط به تغییض آب پرقال توسط فیلم ریزان

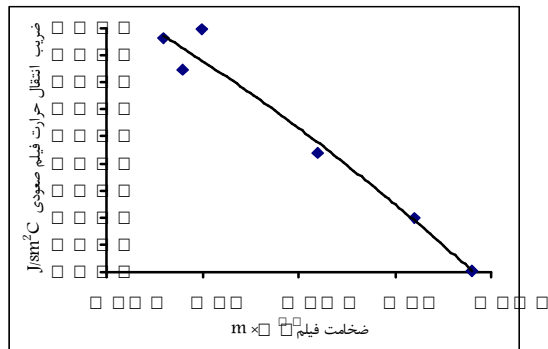
تعداد مراحل	غلاظت 0BX اولیه، g	غلاظت نهائی، 0BX	اسیدیته، g / 100cc	${}^0BX acid$
6	10	40/7	3/1	13/2

5- منابع

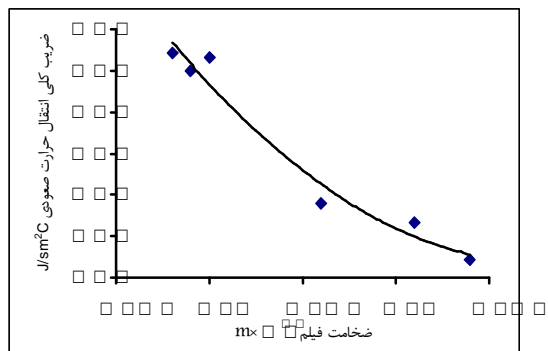
- [1] Sizer E.C., et al., "Maintaining flavor and nutrient quality of aseptic orange juice", Food Tech., p. 152, 1988.
- [2] Heldman K. D., "Food process engineering", 2nd Ed., Chap. 5, 1981.
- [3] Constenla T. D., et al., "Thermophysical properties of clarified apple juice as a function of concentration and temperature", J. Food. Sci., vol.54, no. 3, p. 663, 1989.
- [4] Rao A. M., et al., flow properties of concentrated juices at low temperature", Food Tech., p. 113, 1984.
- [5] Kim H. B., Tadimi C. C., Singh R. K., "Heat transfer in a plate exchanger during



شکل 7 تغییرات ضخامت فیلم بر حسب عدد رینولدز در تغییض آب پرقال با فیلم صعودی



شکل 8 تغییرات ضریب انتقال حرارت فیلم صعودی بر حسب ضخامت فیلم در تغییض آب پرقال با فیلم صعودی



شکل 9 تغییرات ضریب کلی انتقال حرارت بر حسب ضخامت فیلم در تغییض آب پرقال با فیلم صعودی

- [13] Yu L.-Q., Wasden F. K., Dukler A. E., Balakotaiah V., "Nonlinear evolution of waves on falling films at high Reynolds numbers", *Phys. Fluids*, vol 7, pp. 1886-1902, 1995.
- [14] Nguyen L. T., Balakotaiah V., "Modeling and experimental studies of wave evolution on free falling films", *Phys. Fluids*, vol. 12, pp. 2236-2256, 2000.
- [15] Mouza A.A., Paras V.S., Karabelas J.A., "The influence of small tube diameter on falling film and flooding phenomena", *Int. J. of Multiphase Flow*, vol. 28, pp. 1311-1331, 2002.
- [16] Moran K., Inumaru J., Kawaji M., "Instantaneous hydrodynamics of a laminar wavy liquid film", *Int. J. of Multiphase Flow*, vol. 28, pp. 731-755, 2002.
- [17] Mouza A. A., Pantzali N. M., Pars V.S., "Falling film and flooding phenomena in small diameter vertical tubes: The influence of liquid properties", *Chem. Eng. Sci.*, vol. 60, pp. 4081-4991, 2005.
- [18] Fellows J. P., "Food processing technology, principles and practice", Chap. 10, Ellis Horwood limited, 1990.
- [19] Rao.A. M., et al., "Flow properties of concentrated juices at low temperature", *Food Tech*, p113, 1984.
- [6] Pierson F. W., Whitaker S., "Some theoretical and experimental observations of the wave structure of falling liquid films", *Ind. Eng. Chem. Fund.*, vol. 18, pp. 401-408, 1977.
- [7] Portalski S., Clegg A. J., "An experimental study of wave inception on falling liquid films", *Chem. Eng. Sci.*, vol. 27, pp. 1257-1265, 1972.
- [8] Chu K. J., Dukler A. E., "Statistical characteristics of thin, wavy films: part II. Studies of the substrate and is wave structure", *AIChE J.*, vol. 20, pp. 695-706, 1974.
- [9] Takahama H., Kato S., "Longitudinal flow characteristics of vertically falling liquid films without contercurrent gas flow", *Int. J. Multiphase Flow*, vol. 6, pp. 203-215, 1980.
- [10] Alekseenko S. V., Nakoryakov V. E., Pokusaev B. G., "Wave formation on vertical falling liquid films" *Int. J. Multiphase Flow*, vol. 11, pp. 607-627, 1985.
- [11] Adomeit P., Renz U., "Hydrodynamics of three-dimensional waves in laminar falling films", *Int. J. Multiphase Flow*, vol. 26, pp. 1183-1208, 2000.
- [12] Chang H. C., "Wave evolution on a falling film", *Annu. Rev. Fluid Mech.*, vol. 26, pp. 103-136, 1994.
- [13] Yu L.-Q., Wasden F. K., Dukler A. E., Balakotaiah V., "Nonlinear evolution of waves on falling films at high Reynolds numbers", *Journal of Food Engineering*, 42(2), p. 79-84, 1999.